

[美] J·米尔曼
T·V·帕帕托马斯 等著

微电子学：数字和模拟电路及系统

清华大学电子学教研组 译
下册
(习题与习题解答)

微电子学：数字和模拟电路及系统
(习题与习题解答)

下册

[美] J. 米 尔 曼 等著
[美] T. V. 帕帕托马斯
清华大学电子学教研组 译

*

高等教育出版社出版

新华书店北京发行所发行

青浦任屯印刷厂印装

*

开本 787×1092 1/16 印张 28 字数 643,000

1982年12月第1版 1983年1月第1次印刷

印数 00,001—10,200

书号 15010·0467 定价 3.55 元

目 录

	习题页码	解答页码
第一 章 半导体.....	1	111
第二 章 结型二极管特性.....	4	121
第三 章 双极型晶体管特性.....	9	139
第四 章 集成电路：制作与特点.....	13	153
第五 章 数字电路.....	17	159
第六 章 组合数字系统.....	28	200
第七 章 时序数字系统.....	32	214
第八 章 场效应晶体管.....	38	225
第九 章 大规模集成系统.....	42	238
第十 章 二极管模拟电路.....	45	249
第十一 章 低频放大器.....	52	266
第十二 章 反馈放大器的特性.....	62	304
第十三 章 放大器的频率响应.....	71	323
第十四 章 反馈放大器的频率响应.....	78	348
第十五 章 运算放大器的特性.....	82	372
第十六 章 运算放大器系统.....	90	399
第十七 章 整形电路与波形发生器.....	100	421
第十八 章 功率电路与系统.....	106	437
译后记.....	443	

习题部分

第一章

1-1 (a) 一个电子从电极发射出来, 由于电势 V 的作用而加速, 初速度可忽略不计。设该粒子的末速度为 1.88×10^7 米/秒, 求 V 的值。

(b) 一个氘离子(重氢离子, 原子量为 2.01)被放进一个加速电场, 电场数值与题(a)相同, 离子的初速度为 10^5 米/秒。计算该粒子的末速度。

1-2 在两块平行板电极的一个极板上, 有一个电子以 10^{-17} 焦耳的初始动能垂直地向另一个极板运动。由于两个电极之间加有 65 伏电压, 形成减速电场, 而使这个电子减速。

问: (a) 电子会到达第二块极板吗?

(b) 为了使电子到达第二块极板时速度为零, 需要多大的减速电压?

1-3 示波管的基本特性示于图 P1-3。 K 和 A 之间的电压差为 V_a , P_1 和 P_2 之间的电压差为 V_p 。两个电场互不影响。电子从电极 K 发射出来, 初速度为零, 它们穿过电极 A 中间的孔眼。由于 P_1 和 P_2 间电场的作用, 电子通过这两块极板时将改变方向, 此后则以恒速向荧光屏运动。两块极板之间的距离为 d 。

(a) 求电子穿过 A 时的速度 v_x (表示为 V_a 的函数)。

(b) 求电子从极板 P_1 和 P_2 的电场出来时 Y 方向的速度 v_y (表示为 V_p , l_d , d 和 v_x 的函数)。

(c) 求电子到达荧光屏时与屏幕中心的距离(d_s), 表示为管长和外加电压的函数。

(d) 若 $V_a = 1.0\text{kV}$, $V_p = 100\text{V}$, $l_d = 1.27\text{cm}$, $d = 0.5\text{cm}$, $l_s = 20\text{cm}$, 求 v_x , v_y 和 d_s 的数值。

(e) 如果我们希望电子束偏转 $d_s = 5\text{cm}$, 那么 V_a 的值必须多大?

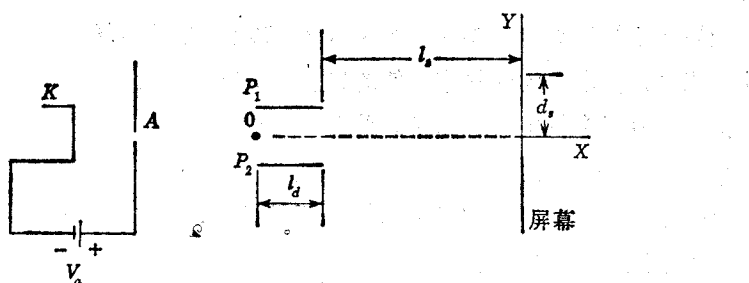


图 P1-3

1-4 一个二极管由平面发射极和与之平行的平面阳极构成, 二者相距 0.5 厘米。相对于阴极而言, 阳极电位保持在 -10 伏。

(a) 假如电子以 10^6 米/秒的速度离开发射极而朝向阳极, 那么它在离阴极多远的地方与位能垒相交?

(b) 为了能够到达阳极, 电子必须以多大速度离开发射极?

1-5 粒子离开其平衡位置移动时受到线性恢复力 $f = -kx$ 的作用, 式中 x 是从平衡位置测出的位移。试以能量法说明该粒子将作周期性振动, 其最大位移正比于粒子总能量的平方根。

1-6 将质量为 m 的粒子在地球重力场中以速度 v_0 垂直向上抛出。

(a) 以能量法说明该粒子将在 $v_0^2/2g$ 的高度上逆转其方向, 式中 g 是重力加速度。

(b) 说明该逆转点对应着与位能垒的“碰撞”。

1-7 证明每立方米金属的自由电子浓度 n 可用下式表示:

$$n = \frac{dv}{AM} = \frac{A_0 dv \times 10^3}{A}$$

式中 d 为密度, 公斤/米³

v 为原子价, 每个金属原子中的自由电子数

A 为原子量

M 为单位原子量的原子重量, 公斤(附录 A)

A_0 为阿佛伽德罗常数, 分子数/摩尔

1-8 一根铝导线的电阻率为 3.44×10^{-8} 欧·米, 直径为 2 毫米, 总长为 0.5 米。若电流为 30 毫安, 则降落在该导线上的电压是多少?

1-9 直径为 1.03 毫米的铜导线的电阻为 2.14×10^{-4} 欧/厘米。铜的自由电子浓度为 8.40×10^{28} 个电子/米³。若电流密度为 2×10^6 安/米², 求(a)电流(b)漂移速度(c)迁移率(d)电导率。

1-10 (a) 计算使硅中的一个电子具有 1 电子伏特平均能量所需要的电场。

(b) 在硅棒两端加电压以产生电子空穴对的做法切合实际吗?解释之。

1-11 钨的密度为 18.8 克/厘米³, 原子量为 184, 自由电子浓度为 $1.23 \times 10^{23}/\text{厘米}^3$ 。计算每个原子中的自由电子数。参考 1-8 节的例 1-2。

1-12 (a) 计算单价铜的电导率。已知铜的 $\mu = 34.8 \text{ cm}^2/\text{V}\cdot\text{s}$, 原子量为 63.54, $d = 8.9 \text{ g/cm}^3$ 参考 1-8 节的例 1-2。

(b) 如果在这样的铜棒两端加一个强度为 500 伏/米的电场, 试求自由电子的平均速度。

1-13 计算铝中自由电子的迁移率。铝的密度为 2.70 克/厘米³, 电阻率为 3.44×10^{-6} 欧·厘米。假设每个铝原子有三个价电子。原子量为 26.98。参考 1-8 节的例 1-2。

1-14 (a) 确定 300K 时锗样件中自由电子和空穴的浓度。已知其施主原子浓度等于 2×10^{14} 个原子/厘米³, 受主原子浓度等于 3×10^{14} 个原子/厘米³。这是 p 型锗还是 n 型锗? 换言之, 其导电性主要是由于空穴还是电子?

(b) 若施主和受主浓度相等, 均为 10^{15} 个原子/厘米³, 重做题(a)。这是 p 型锗还是 n 型锗?

(c) 若施主浓度为 10^{16} 个原子/厘米³, 受主浓度为 10^{14} 个原子/厘米³, 重做题(a)。

1-15 (a) 求 300K 时 p 型锗中空穴和电子的浓度。设电阻率为 0.02 欧·厘米。

(b) 若为 n 型硅, 重做题(a)。设其电阻率为 20 欧·厘米。

1-16 (a) 说明本征锗在 300K 时的电阻率为 44.64 欧·厘米。

(b) 如果每 10^8 个锗原子中掺进 1 个施主型杂质原子, 证明电阻率降为 3.73 欧·厘米。

1-17 (a) 求 300K 时本征硅的电阻率。

(b) 掺进施主型杂质后, 电阻率减到 9.6 欧·厘米, 计算每单位体积里施主原子与硅原子的比。

1-18 计算 300K 时本征硅棒的电阻。棒长 5 厘米, 横截面为 2×4 毫米²。

1-19 考虑室温(300K)下的本征硅。温度每增加 1°C , 电导率增加百分之几? 假设 μ 与 T 无关。

1-20 若为本征锗, 重做题 1-19。

1-21 确定 500K 时硅样品中自由电子和空穴的浓度。已知其施主原子浓度等于 $N_D = 1.874 \times 10^{13}$ 个原子/cm³, 受主原子浓度等于 $N_A = 3.748 \times 10^{13}$ 个原子/cm³。说明该样品基本上是本征的。解释为什么这实际上应该是料想到的。

1-22 一块锗样品掺杂后达到 10^{14} 个施主原子/厘米³ 和 7×10^{13} 个受主原子/厘米³ 的程度。在样品的温度下, 纯(本征)锗的电阻率是 60 欧·厘米。设空穴和电子的迁移率数值均与 300K 时相同(近似)。若总的导电电流密度为 52.3 毫安/厘米², 求所加的电场。

1-23 (a) 证明表 1-1 列出的锗原子浓度的数值。

(b) 如果在 10^8 个锗原子中掺进 1 个施主型杂质原子, 求其电阻率。

(c) 假设锗是单价金属, 求其电导率与(b)中 n 型半导体电导率之比。

1-24 假设硅是单价金属, 求其电导率与本征硅在 300K 时的电导率之比。

1-25 (a) 求图 1-10 中所用 n 型硅棒的霍尔电压 V_H 的大小。已知其多数载流子浓度 $N_n = 10^{13}$ 个原子/cm³。设 $B_z = 0.2 \text{ Wb/m}^2$, $d = 5 \text{ mm}$, $\mathcal{E}_x = 5 \text{ V/cm}$ 。

(b) 如果在(a)中采用 $N_A = 10^{12}$ 个原子/cm³ 的 p 型硅棒, 其余条件相同, 那么 V_H 将发生什么变化?

1-26 可用霍尔效应来确定图 1-10 中 p 型硅棒的空穴迁移率。假设硅棒的电阻率是 200,000 欧·厘米, 磁场 $B_z = 0.1 \text{ Wb/m}^2$, $d = w = 2 \text{ mm}$, 测出的电流值和霍尔电压值分别是 5 微安和 30 毫伏。求 μ_p 。

1-27 图 1-10 所用 n 型硅棒的电阻率为 1,000 欧·米, $w = 1 \text{ cm}$ 。若电流为 10 微安, 霍尔电压为 40 毫伏, 问所加的磁场强度 B 为多大?

1-28 半导体样品的空穴浓度示于图中。

(a) 求没有外加电场情况下的空穴电流密度 $J_p(x)$ 的表达式, 并画出其示意图。

(b) 假设没有与图示的浓度分布有关的纯空穴电流, 求必须存在的内部建立的电场的表达式, 并画出示意图。

(c) 若 $P(0)/P_0 = 10^3$, 求点 $x=0$ 和 $x=W$ 之间的电位差值。

1-29 (a) 考虑图 1-12a 那样的一个开路的梯度半导体。证明电子的波尔兹曼方程[式(1-42)],

(b) 对于图 1-12b 的跃变梯度半导体, 证明式(1-45)给出的接触电位差 V_0 的表达式, 从 $J_n = 0$ 起始。

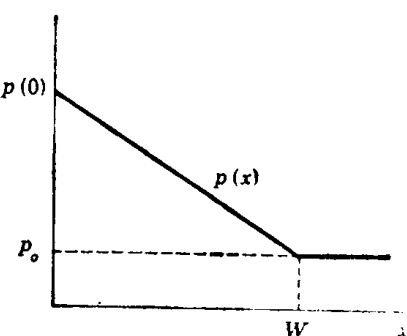


图 P 1-28

1-30 (a) 如果图 1-12b 为跃变梯度锗半导体, $N_D = 10^2 N_A$, 而 N_A 表示每 10^8 个锗原子中有 1 个受主原子。试计算室温下的接触电位差 V_0 。

(b) 对于硅 pN 结, 重做题(a)。

1-31 考虑一个开路的 pN 结二极管, 温度为 300K。如果 N_D 变化 10,000 倍, N_A 保持不变, 试确定接触电位差的变化。

1-32 (a) 一个跃变梯度锗二极管两边的电阻率为 2 欧·厘米(p 边)和 1 欧·厘米(n 边)。计算位垒高度 V_0 。

(b) 对于硅 pN 结, 重做题(a)。

第二章

2-1 用对数坐标示意画出硅跃变结的载流子浓度与距离的关系曲线, 设 $N_D = 5 \times 10^{14}$ 个原子/ cm^3 , $N_A = 5 \times 10^{16}$ 个原子/ cm^3 。给出纵坐标的数值, 标明 n 区、 p 区和耗尽区。

2-2 对于锗跃变结, 重做题 2-1。

2-3 一个硅跃变结两边的电阻率为 9.6 欧·厘米(p 边)和 100 欧·厘米(n 边)。用对数坐标示意画出载流子浓度与距离的关系曲线。给出纵坐标的数值, 标明 n 区、 p 区和耗尽区。

2-4 (a) 在室温下, 硅 pN 结二极管中的反向电流将在多大电压下达到其饱和值的 95%?

(b) 0.1 伏正向偏置下的电流与同样大反向偏置下的电流之比是多少?

(c) 若反向饱和电流为 10 纳安, 分别计算在 0.5、0.6 和 0.7 伏电压下的正向电流。

2-5 (a) 若硅 pN 结二极管的反向饱和电流为 1 纳安, 试求正向电流为 0.5 微安时的外加电压。

(b) 若题(a)中求得的电压正向加到一个锗二极管上, 问将产生多大电流?(设反向饱和电流为 20 微安。)

2-6 (a) 一个硅二极管在室温下(300K)且外加 0.7 伏电压时电流为 5 毫安。如果电压增加到 0.8 伏, 试计算二极管的电流。设 $\eta = 2$ 。

(b) 计算反向饱和电流。

2-7 (a) 对于工作在导电区的硅二极管, 在 300K 时, 如果电流增加 10 倍, 那么电压的变化有多大?

(b) 假设电流增加 100 倍, 重做题(a)。

2-8 (a) 根据图 2-6 中 $T = 25^\circ\text{C}$ 的那条曲线的斜率, 求式(2-3)中的 η 。最好取电流为 0.01 到 10 毫安这一范围内的线段。

(b) 若 $T = -55^\circ\text{C}$ 和 150°C , 重做上题。

2-9 (a) 计算温度从 25°C 增加到 100°C 时锗二极管反向饱和电流所增加的倍数。

(b) 对于硅二极管, 在温度从 25°C 变化到 200°C 的范围内, 重做题(a)。

2-10 (a) 温度增加多少将使反向饱和电流成为室温时的 50 倍?

(b) 温度降低多少将使反向饱和电流成为室温时的十分之一?

2-11 根据推算, 锗二极管的反向饱和电流应该增加 $0.11^{\circ}\text{C}^{-1}$ 。但从实验发现, 一个具体的二极管在 10 伏反向电压下的反向电流为 5 微安, 随温度的变化仅为 $0.07^{\circ}\text{C}^{-1}$ 。问并联在二极管上的漏电阻有多大?

2-12 锗二极管的反向饱和电流为 10 微安。二极管与 1.25 千欧的电阻并联。如果测得电流为 40 微安, 那么外加电压有多大? 提示: 用图解法。

2-13 一个二极管安装在底座上, 每当其温度每高出环境温度 1°C 时, 就有 0.1 毫瓦的热从二极管传递到外界。(在二极管和外界之间的机械接触“热阻”为 $0.1 \text{ 毫瓦}/^{\circ}\text{C}$ 。) 环境温度为 25°C , 二极管温度不能比环境温度高 10°C 。如果 25°C 时的反向饱和电流为 5.0 微安, 并且以 $0.07^{\circ}\text{C}^{-1}$ 的速率增加, 那么二极管两端可能维持的最大反向偏置电压为多大?

2-14 一个硅二极管在 0.7 伏的正向电压下工作。计算当温度从 25°C 降为 -55°C 时电流变化的倍数。

2-15 一个理想的硅 $p\text{n}$ 结二极管在 125°C 温度下的反向饱和电流为 0.1 微安。在温度为 10°C 时, 求下列两种情况下的动态电阻: (a) 正向偏置 0.8 伏 (b) 反向偏置 0.8 伏。

2-16 一个理想的锗二极管, 室温下在 $I = 43.8\text{mA}$ 这一点的静态电阻为 4.57 欧。求 0.1 伏正向偏置时的动态电阻。

2-17 证明: 对于合金型 $p\text{n}$ 结 ($N_A \ll N_D$), 耗尽层宽度 W 可由下式表示

$$W = \left(\frac{2e\mu_p V_j}{\sigma_p} \right)^{1/2}$$

式中, V_j 为二极管在加有 V_a 电压条件下的 $p\text{n}$ 结电位。

2-18 (a) 证明: 对于合金型的硅 $p\text{n}$ 结 ($N_A \ll N_D$), 耗尽层电容(单位为皮法/厘米²) 可由下式表示

$$C_T/A^* = 2.913 \times 10^{-4} \left(\frac{N_A}{V_j} \right)^{1/2}$$

(b) 如果 p 型材料的电阻率为 4 欧·厘米, 位垒高度 V_0 为 0.3 伏, 外加反向电压为 4 伏, 截面是一个 50 密耳直径的圆, 求 C_T 。

2-19 一个硅 $p\text{n}$ 结的截面是 40 密耳直径的圆, C_T 是 61 皮法, 位垒高度 V_0 是 0.35 伏, 外加反向电压是 5 伏, 求 p 型材料的电阻率。提示: 利用题 2-18a 的结果。

2-20 (a) 对于图 2-8 的 $p\text{n}$ 结, 求 \mathcal{E} 和 V 关于 n 型边 x 的函数表达式, 这里 N_A 和 N_D 数值相当。提示: 移动 x 的原点, 使 $x=0$ 处于 $p\text{n}$ 结上。

(b) 试说明总的位垒电压为: 式(2-15)乘以 $N_A/(N_A+N_D)$, 且 $W=W_p+W_n$ 。

(c) 证明: $C_T = [qN_A N_D \epsilon / 2(N_A + N_D)]^{1/2} V_j^{-1/2} A^{**}$ 。

(d) 证明: $C_T = \epsilon A / (W_p + W_n)$ 。

2-21 一个硅 $p\text{n}$ 二极管 $N_D = 10^{15}$ 个原子 $\text{cm}^{-3} \ll N_A$, $V_0 = 0.5\text{V}$ 。若外加反向偏置电压为 10

* 原书误为 C_T 。——译者注

** 原书中

$C_T = [qN_A N_D \epsilon / 2(N_A + N_D)]^{1/2} V^{-1/2}$

为与解答结果一致此处作了修改。——译者注

伏, 求:

- (a) 空间电荷区宽度 W 。
- (b) pN 结上的电场值。
- (c) 每平方密耳的电容量。

2-22 反向偏置的二极管经常作为电控制的可变电容器使用。一个跃变结二极管 4 伏时的过渡电容为 10 皮法。计算在偏置增加 0.5 伏时电容的减小量。

2-23 锗 pN 结面积为 0.5×0.5 毫米 2 , 空间电荷区厚度为 3×10^{-4} 厘米, 计算其位垒电容。锗的介电常数(相对于真空)为 16。

2-24 硅合金型 pN 结的零电压位垒高度为 0.6 伏。 p 区受主原子的浓度 N_A 比 n 区施主原子的浓度小得多, 且 $N_A = 5 \times 10^{16}$ 个原子 cm^{-3} 。计算外加下列几种电压时耗尽层的宽度各为多少:
(a) 0.6 伏的反向电压, (b) 0.2 伏的反向电压, (c) 0.5 伏的正向电压 (d) 若二极管的截面积为 1 毫米 2 , 求对应于(a) 和(b) 中外加电压值的空间电荷电容。

2-25 (a) 一个生长型 pN 结的暴露电荷密度 ρ 随距离线性地变化。若 $\rho = ax$, 证明位垒电压 V_j 可由下式表示:

$$V_j = \frac{aW^3}{12\epsilon}$$

(b) 证明位垒电容 C_T 可用式(2-17)表示。

2-26 如果硅二极管的扩散电容为 $C_D = 1 \text{nF}$, 求正向偏置电流。扩散长度为 2.6×10^{-6} 米。设 p 区掺杂浓度比 n 区大得多。

2-27 扩散电容表示式[式(2-26)]的推导中假定了 p 区掺杂浓度远大于 n 区, 所以结电流完全是由空穴引起的。如果不作这一近似, 试推导总扩散电容的表示式。

2-28 (a) 证明跃变梯度结在 $N_A \gg N_D$ 时的电场最大值 \mathcal{E}_m 为

$$\mathcal{E}_m = \frac{2V_j}{W}$$

(b) 人们发现, 当 $\mathcal{E}_m = 2 \times 10^7 \text{V/m} \equiv \mathcal{E}_z$ 时, 发生齐纳击穿。证明齐纳电压 V_z 可以表示为

$$V_z = \frac{\epsilon \mathcal{E}_z^2}{2qN_D}$$

由此可见, 可以通过控制施主离子的浓度来控制齐纳击穿电压。

2-29 (a) 锗材料在电场强度为 2×10^7 伏/米时发生齐纳击穿。证明击穿电压 $V_z = 50.93/\sigma_p$, 式中 σ_p 为 p 型材料的电导率, 单位是(欧·厘米) $^{-1}$ 。设 $N_A \ll N_D$ 。

(b) 若 p 型材料基本上是本征的, 计算 V_z 。

(c) 在 p 型材料中掺入 $1/10^8$ 的杂质, 电阻率降到 3.7 欧·厘米。计算 V_z 。

(d) p 型材料的电阻率为多大时将有 $V_z = 10 \text{V}$?

2-30 (a) 一个硅二极管与 2 千欧电阻及 10 伏电源串联。若二极管为正向偏置, 则电路中的电流约为多少?

(b) 如果二极管在电流为 1 毫安时测得管压降为 0.6 伏, 求上述电路中比较精确的电流值。

(c) 如果电池反接, 且二极管的击穿电压为 7 伏, 求电路中的电流。

(d) 将另一个同样的二极管与原有的二极管反向串联(两个阳极连接在一起)。此时电路中的电流约为多大?

(e) 如果题(d)中的电源电压减到 4 伏, 问电流是多少?

2-31 (a) 两个硅 $p-n$ 二极管反向串联。反向饱和电流为 10 纳安。

将一个 6 伏电池接到此串联着的管子上。假如齐纳(雪崩)电压为 10 伏, 试求电路中的电流 I 和每个二极管上的电压。

(b) 现在假设 $V_z = 5V$ 。重做题(a), 忽略齐纳欧姆电阻。

2-32 一个 15 伏的雪崩二极管和一个正向偏置的硅二极管串接, 用以构成具有零温度系数的参考电压。硅二极管的温度系数为 -1.7 毫伏/ $^{\circ}\text{C}$ 。试用每度($^{\circ}\text{C}$)的百分数写出所需的齐纳二极管的温度系数。

2-33 两个二极管的饱和电流分别为 1 和 2 微安。这两个二极管的击穿电压都等于 100 伏。设 $\eta = 2$ 。

(a) 若 $V = 80V$ 和 $V = 120V$, 计算这两个二极管的电流和电压。

(b) 假设每个二极管都用一个 8 兆欧电阻并联, 重做题(a)。

2-34 (a) 一个硅 $p-n$ 结二极管与一个 10 兆欧的电阻 R 串联。将 1 伏的电池跨接到它们的两端, 使二极管反向偏置。设二极管的反向饱和电流为 30 纳安, 求二极管上的电压。

(b) 若电池反极性连接, 重做题(a)。提示: 利用图解法, 如图 2-14 所示。

2-35 (a) 在题 2-31 的电路中, 齐纳击穿电压为 4.0 伏。若欧姆电阻可以忽略, 问电流有多大?

(b) 若欧姆电阻为 200 欧, 问电流又是多大? 注: 绘制式(2-3)的曲线并画出负载线来回答(b)题。用逐次近似的解析方法证明你的答案。

2-36 一个锗 $p-n$ 结二极管在室温下的反向饱和电流为 10 微安, 欧姆电阻可以忽略, 齐纳击穿电压为 100 伏。将一个 1 千欧的电阻与此二极管串联, 一个 30 伏的电池加到这个串联电路的两端。求下列几种情况下的电流:

(a) 二极管正向偏置。

(b) 电池以相反的极性接入电路。

(c) 若齐纳击穿电压为 10 伏, 重做题(a)和(b)。

2-37 一个 10 欧电阻与一个器件串接, 并在此电路两端加上 5 伏电池。这个器件的伏安特性如下(I 的单位是安培, V 的单位是伏特):

$$I = +0.2\sqrt{V - 1} \quad (V \geq 1 \text{ 时})$$

$$I = 0 \quad (V < 1 \text{ 时})$$

(a) 用图解法求电路中的电流。

(b) 用解析法证明这个答案。

2-38 有两个二极管, 每个二极管都用线性化的伏安特性来描述, 即, 用增量电阻 r 和开启电压 V_v 来表示。二极管 D_1 是锗管, $V_v = 0.2V$, $r = 20\Omega$, 二极管 D_2 是硅管, $V_v = 0.6V$, $r = 15\Omega$ 。若(a)

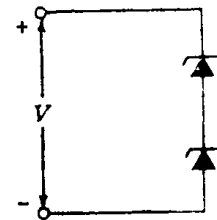


图 P 2-33

(a) $R = 10\text{k}\Omega$, (b) $R = 1\text{k}\Omega$, 求二极管电流。

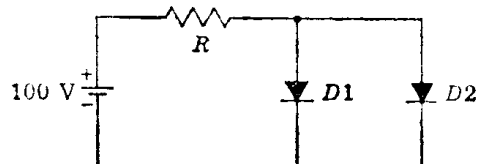


图 P 2-38

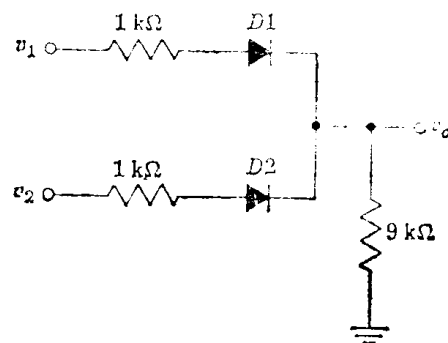


图 P 2-39

2-39 对于图中所示的电路, 二极管的开启电压为 0.6 伏, 导通二极管的压降为 $V' = 0.7\text{V}$ 。计算对应于下列输入电压的 v_o , 并指出各个二极管的状态(导通或截止)。证明你关于各个二极管状态的假定。

- (a) $v_1 = 10\text{V}, v_2 = 0\text{V}$ 。
- (b) $v_1 = 5\text{V}, v_2 = 0\text{V}$ 。
- (c) $v_1 = 10\text{V}, v_2 = 5\text{V}$ 。
- (d) $v_1 = 5\text{V}, v_2 = 5\text{V}$ 。

2-40 假设电路中的二极管是理想的, 即, $R_f = 0, V_v = 0, R_r = \infty$ 。求下列情况下的 v_o :

- (a) $v_1 = v_2 = 5\text{V}$ 。
- (b) $v_1 = 5\text{V}, v_2 = 0\text{V}$ 。
- (c) $v_1 = v_2 = 0\text{V}$ 。

证明你在每个小题中关于各个二极管状态的假定。

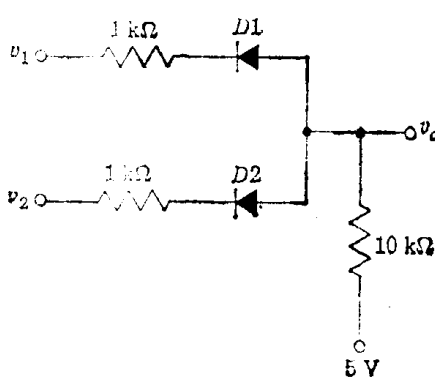


图 P 2-40

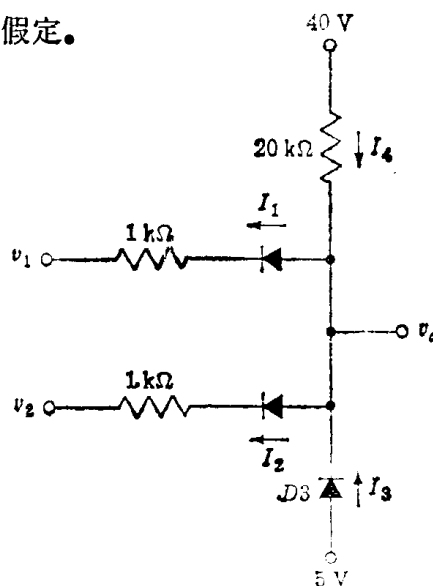


图 P 2-41

2-41 图示电路中的二极管与题 2-39 中的相同。计算在下列条件下的 I_1, I_2, I_3 和 v_o :

- (a) $v_1 = 0\text{V}, v_2 = 25\text{V}$ 。

(b) $v_1 = v_2 = 25V$ 。

第三章

3-1 图 3-3a 中的晶体管具有图 3-6 和图 3-7 给出的特性。令 $V_{ce} = 1.2V$, $R_L = 40\Omega$, 且 $I_S = 5mA$ 。

(a) 求 I_C 和 V_{ce} 。

(b) 求 V_{BE} 和 V_L 。

(c) 如果 I_B 以题(a)中的工作点为中心对称地变化 $\Delta I_B = 10mA$, 且 V_{ce} 不变, 求 I_C 相应的变化量。

3-2 用于图 3-3a 电路中的共基晶体管具有图 3-6 和图 3-7 给出的特性。令 $I_C = -15mA$, $V_{ce} = -3V$, $R_L = 100\Omega$ 。

(a) 求 V_{ce} 和 I_B 。

(b) 如果电源电压 V_{ce} 从题(a)中的那个值减少 1 伏, 而 I_B 保持它原先的数值, 求 I_C 和 V_{ce} 的新值。

3-3 电路如图所示, 发射极电流 $I_E = -2mA$ 。若 $\alpha = 0.98$, $V_{ce} = 0.7V$, 求 R_1 。反向饱和电流忽略不计。

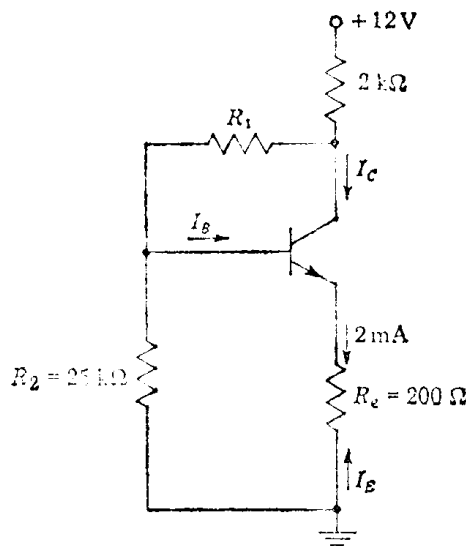


图 P 3-3

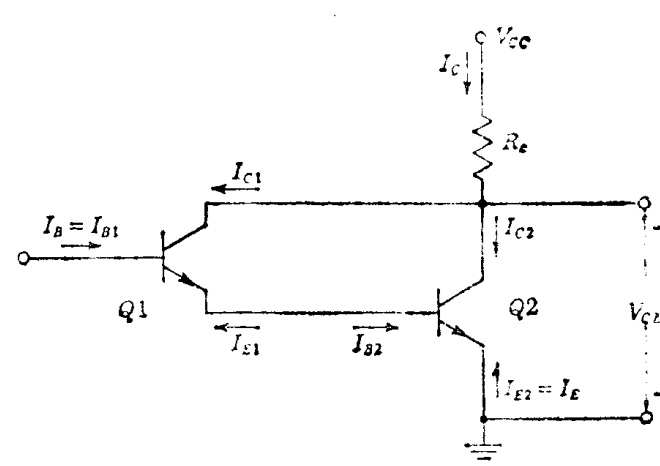


图 P 3-5

3-4 一个共射 $n-p-n$ 晶体管具有下列参数: $h_{FE} = 100$, 且与电流无关; $V_{CE(sat)} = 0.1V$, $V_{BE(sat)} = 0.8V$; I_C 的范围为 0 到 20 毫安。试画出该晶体管的理想化的输出和输入特性。

3-5 电路如图所示, $\alpha_1 = 0.99$, $\alpha_2 = 0.98$, $V_{ce} = 20V$, $R_c = 100\Omega$, $I_E = -120mA$ 。忽略反向饱和电流。并设两个晶体管均在放大区工作, 确定(a)电流 I_{C1} , I_{B1} , I_{E1} , I_{C2} , I_{B2} , I_E ; (b) V_{ce} ; (c) I_C , I_E , I_C/I_E 。

3-6 用于图 3-11a 电路中的共射晶体管具有图 3-9 和图 3-10 给出的特性。令 $R_b = 30\text{k}\Omega$ 。

- (a) 若 $V_{CC} = 12\text{V}$, $V_{CE} = 6\text{V}$, $R_e = 240\Omega$, 求 V_{BB} 。
- (b) 若 $V_{CC} = 6\text{V}$, 求使 $I_C = 16\text{mA}$, $V_{CE} = 2\text{V}$ 时的 R_e 。求 V_{BB} 。

3-7 在图 3-11 的电路中采用了共射晶体管, 其特性示于图 3-9 和图 3-10。电路中 $R_b = 10\text{k}\Omega$, $V_{CC} = 8\text{V}$, $R_e = 200\Omega$ 。

- (a) 计算 V_{BB} 。
- (b) 输入动态电阻定义为 $r_b \equiv \Delta V_{BB} / \Delta I_B$ 。用图解法求 r_b 。
- (c) 假设 V_{CC} 保持不变, 而 V_{BB} 可以变化。求电压增益 $A \equiv \Delta V_{CE} / \Delta V_{BB}$ 。

3-8 用于图中所示电路的晶体管具有图 3-9 和 3-10 给出的特性。令 $R_b = 6\text{k}\Omega$, $R_e = 200\Omega$, $V_{CC} = 8\text{V}$ 。在 $0 \leq V_i \leq 3.6\text{V}$ 的范围内画出下面三种曲线:

- (a) I_B 与 V_i 的关系曲线;
- (b) I_C 与 V_i 的关系曲线;
- (c) V_o 与 V_i 的关系曲线。

3-9 (a) 求图 3-11a 电路中的 R_e 和 R_b 。设 $V_{CC} = 12\text{V}$, $V_{BE} = 6\text{V}$, 因而 $I_C = 12\text{mA}$, $V_{CE} = 6\text{V}$ 。这里硅晶体管 $\beta = 100$, $V_{BE} = 0.7\text{V}$, 反向饱和电流可以忽略。

- (b) 若电路中加进 200 欧射极电阻, 重做题(a)。

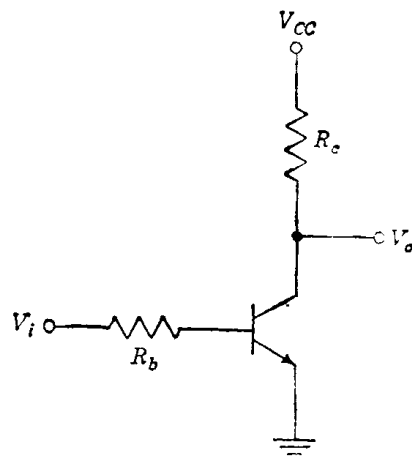


图 P 3-8

3-10 在所示的电路中, $V_{CC} = 20\text{V}$, $R_e = 5\text{k}\Omega$, $R_b = 100\text{k}\Omega$ 。如果采用 $\beta = 100$ 的硅晶体管, 并且 $V_{BE} = 4\text{V}$, 求 R_e 。忽略反向饱和电流。

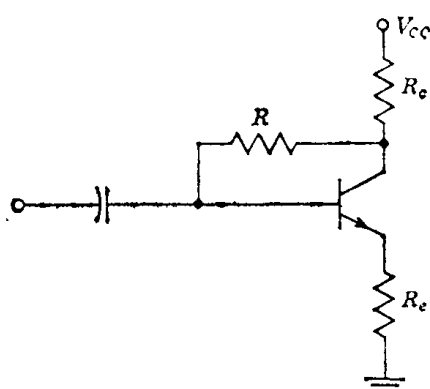


图 P 3-10

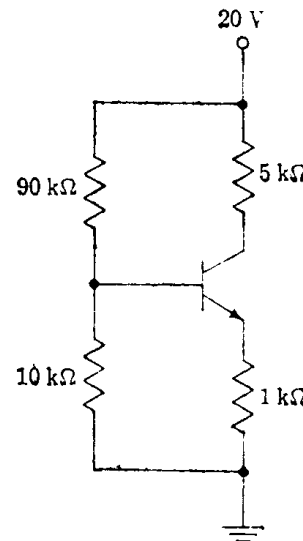


图 P 3-11

3-11 计算图中所示晶体管的集电极和基极电流。设 $h_{FE} = 50$ 。验证你所作的那些假定。提示: 应用戴维南定理(C-2 节), 向基极的左边看。

3-12 对于图示的电路, 晶体管 Q_1 和 Q_2 工作在放大区, $V_{BE1} = V_{BE2} = 0.7\text{V}$, $\beta_1 = 100$, $\beta_2 = 50$ 。反

向饱和电流可以忽略不计。

(a) 求电流 I_{B2} , I_1 , I_2 , I_{C2} , I_{B1} , I_{C1} 和 I_{E1} 。

(b) 求电压 V_{o1} 和 V_{o2} 。

提示: 应用戴维南定理(C-2节), 向 100 千欧电阻的左边看。

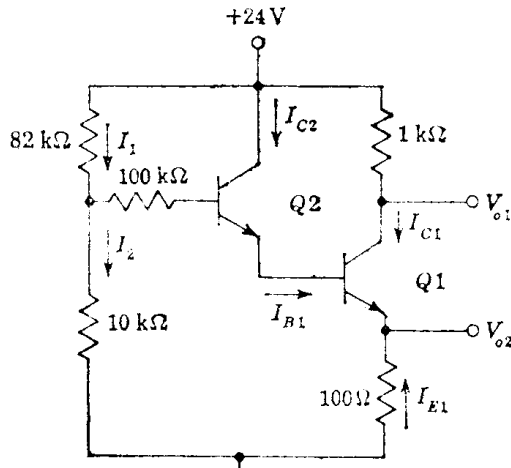


图 P 3-12

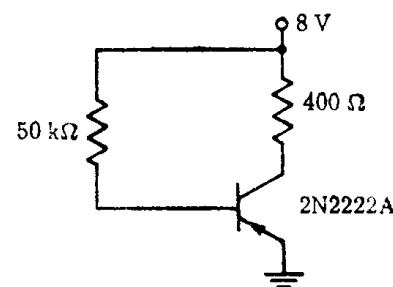


图 P 3-13

3-13 图 3-9、图 3-10、图 3-12 给出了 2N2222A 型晶体管的特性曲线。从这些特性曲线求图中电路的电压 V_{BE} , V_{CE} 和 V_{BC} 。提示: 作为一次近似, 假设 $V_{BE}=0.7V$ 。

3-14 在题 3-8 的电路中用了一个 $\beta=h_{FE}=100$ 的硅晶体管。求使晶体管饱和的 R_b 的最大值。设 $V_i=5V$, $V_{CC}=10V$, $R_c=4.66k\Omega$ 。

3-15 图中硅晶体管的 $h_{FE}=50$ 。令 $V_{CC}=25V$, $V_{BB}=10V$, $R_b=40k\Omega$, $R_c=15k\Omega$, $R_e=5k\Omega$ 。

(a) 假定 Q 处于放大区, 求 I_B 和 I_C 。

(b) 验证题(a)中的假定是不正确的。简要说明之。

(c) 假定 Q 处于饱和区, 求 I_B 和 I_C 。

(d) 验证题(c)中的假定是正确的。简要说明之。

(e) 求使晶体管刚好脱离饱和的 R_e 值。

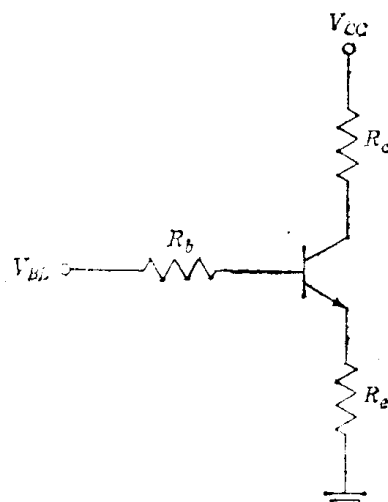


图 P 3-15

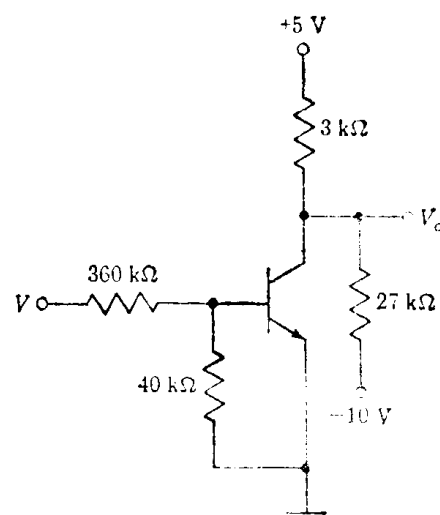


图 P 3-17

3-16 在题 3-15 的电路中, 令 $V_{BB}=10V$, $V_{CC}=25V$, $R_s=3k\Omega$, $R_e=2k\Omega$, $R_b=50k\Omega$ 。硅晶体管 $\beta=100$ 。利用表 3-1 的参数。

问: (a) 晶体管处于截止区、放大区还是饱和区?

(b) 求使晶体管处于放大区的 R_b 的最小值。

3-17 在图示的电路中, 当(a) $V=15V$, (b) $V=30V$ 时, 求 V_{oo} 。电路采用 $\beta=40$ 的硅晶体管。

提示: 对基极电路和集电极电路都应用戴维南定理(C-2 节)。

3-18 对于题 3-8 的电路, 设 $h_{FE}=100$ 。利用表 3-1 中硅晶体管的数值, 并令 $V_{CC}=5V$, $R_s=2k\Omega$, $R_b=12k\Omega$ 。在 $0 \leq V_i \leq 2$ 的范围内, 画出 V_o , I_B 和 I_C 与 V_i 的关系曲线。在每个曲线图上标明晶体管的截止区、放大区和饱和区。

3-19 (a) 假设 $\beta=100$, 忽略 pN 结电压, 问晶体管是处于放大状态还是处于饱和状态?

(b) 计算该电路的 V_o 。

(c) 在上述电路中, 使晶体管饱和的最小 β 是多少?

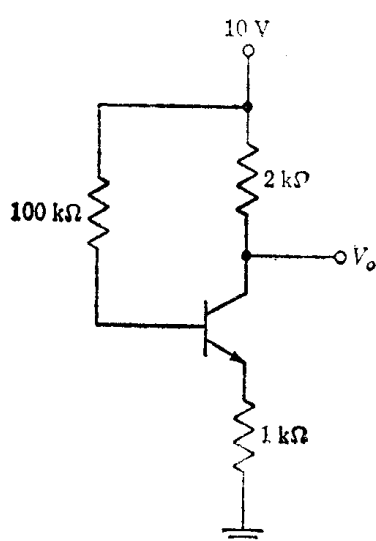


图 P 3-19

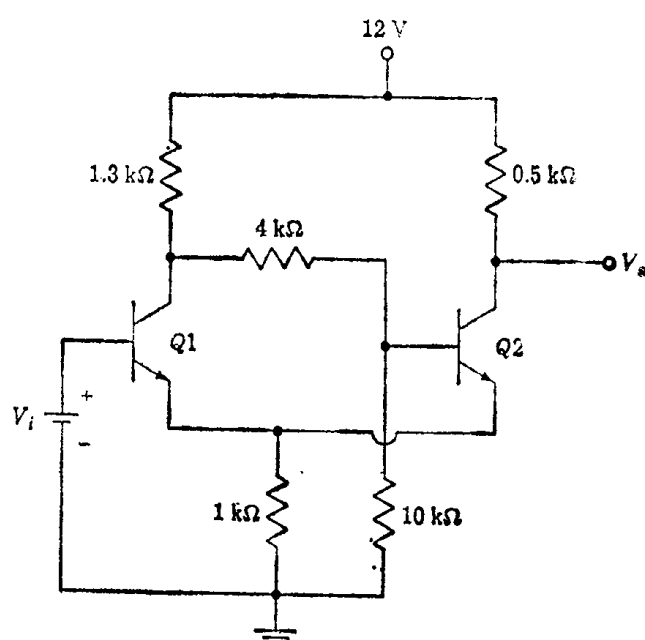


图 P 3-20

3-20 图中电路采用 $h_{FE}=100$ 的硅晶体管。忽略反向饱和电流。

(a) 求 $V_i=0V$ 时的 V_o 。假设 $Q1$ 截止, 并证明这个假设是对的。

(b) 求 $V_i=6V$ 时的 V_o 。假设 $Q2$ 截止, 并证明这个假设是对的。

3-21 根据图 3-9, 求 2N2222A 晶体管在 $V_{CE}=6V$ 和 $I_B=120\mu A$ 时的 h_{fe} 。

3-22 (a) 试说明 $\beta=h_{FE}$ 和小信号共射电流增益 $\beta'=h_{fe}$ 之间的关系是

$$h_{fe} = \frac{h_{FE}}{1 - (I_{CO} + I_B)(dh_{FE}/dI_C)^*}$$

提示: 求式(3-12)对于 I_C 的微分。

* 原书为 $\partial h_{FE}/\partial I_C$, 为与解答一致, 此处作了修改。——译者注

(b) 试说明: 对于 h_{FE} 与 I_C 关系曲线(图 3-14)中最大值以左的电流, $h_{fe} > h_{FE}$, 最大值以右则 $h_{fe} < h_{FE}$ 。

3-23 如果工作方式相反, 那么对应于常规方式下的式(3-5)我们可以写出

$$I_E = -\alpha_I I_C - I_{EO} (e^{V_E/V_T} - 1) \quad (1)$$

式中 α_I 为共基电流增益的倒数, I_{EO} 为发射结反向饱和电流。

(a) 推导以 I_C 和 I_E 表示的 V_E 和 V_C 的显函数表达式。

(b) 推导以 V_C 和 V_E 表示的 I_C 和 I_E 的显函数表达式。

3-24 (a) 图 3-11a 的电路中 $V_{CC} = 12V$, $V_{BB} = -20V$, $R_b = 2k\Omega$, 硅晶体管的 $h_{FE} = 30$ 。问 R_c 为何值时晶体管将饱和?

(b) 如果 $I_{CBO} = 100\mu A$, 且基极电源电压 V_{BB} 的极性反接, 问 R_c 为何值时晶体管将维持在截止状态?

3-25 (a) 图 3-18 中的硅管在室温(25°C)下的反向饱和电流为 10 纳安, 温度每增加 10°C , 该电流增加一倍。偏置 $V_{BB} = 8V$ 。如果晶体管在 185°C 的温度下保持截止, 求 R_b 的最大允许值。

(b) 如果 $V_{BB} = 2.0V$, $R_b = 20k\Omega$, 问在晶体管脱离截止以前温度可以增加多少?

3-26 如果图示电路中所用硅晶体管的 $\beta = h_{FE}$ 的最小值

为 30, 在 25°C 时, $I_{CBO} = 10\text{nA}$:

(a) 求 $V_i = 12V$ 时的 V_o , 并说明 Q 处于饱和状态。

(b) 求题(a)中晶体管处于放大区时 R_1 的最小值。

(c) 若 $R_1 = 15k\Omega$, $V_i = 1V$, 求 V_o , 并说明 Q 处于截止状态。

(d) 求(c)题中晶体管维持截止的最高温度。

3-27 (a) 一个合金型 $n-p-n$ 硅晶体管的基区电阻率 ρ_B 远大于集电区, 试证明其穿通电压 V 可以用下式表示:

$$V = 9.42 \times 10^8 W_B^2 / \rho_B$$

式中 V 的单位为伏特, ρ_B 的单位为欧姆·厘米, W 的单位为厘米。

(b) 若 $W = 2\mu\text{m}$, $\rho_B = 1\Omega \cdot \text{cm}$, 试计算穿通电压。

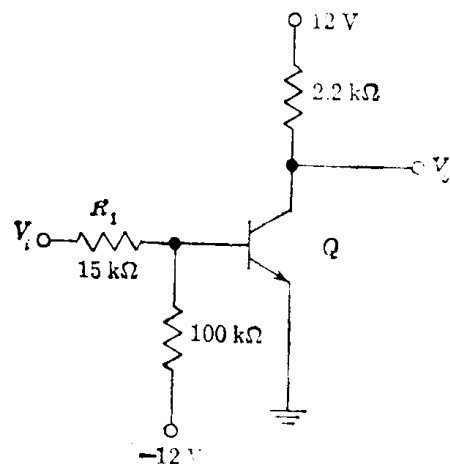


图 P 3-26

第四章

4-1 依次列举用外延扩散法制造单片硅集成晶体管所需要的步骤。画出每次生长氧化物以后的剖面图。标明材料。不必画隐埋层。

4-2 按比例画出在 5 密耳厚的硅衬底上制造的单片集成晶体管的剖面图。提示: 参考 4-2 节和图 4-7 与图 4-8 的典型尺寸。

4-3 由图 4-7 确定：(a) 外延集电区浓度，(b) 从形成集电结和发射结的那个表面算起的距离，(c) 基区厚度，(d) 表面附近的硼浓度，(e) 表面附近的磷浓度。

4-4 (a) 考虑一个制作在 *p* 型衬底 *S* 上的集成电路 *npn* 型晶体管 *Q*。说明在 *E*、*B*、*C* 和 *S* 这四端之间，除了 *Q* 之外，还有一个 *pnp* 型晶体管 *Q*₂。

(b) 如果 *Q* 工作在其放大区，问 *Q*₂ 工作在什么状态？解释之。

(c) 假设 *Q* 处在饱和状态，重做题(b)。

(d) 假设 *Q* 处在截止状态，重做题(b)。

4-5 示意画出单片集成电路中二极管的五种基本联接方式(用电路形式表示)。哪一种联接方式的正向压降最低？哪一种的击穿电压最高？

4-6 肖特基势垒二极管可防止 *Q* 饱和。假定当这个二极管导通时它的两端有 0.4 伏的压降。若 $h_{FE} = 100$ ，计算基极和集电极以及每个电阻中的电流。

4-7 假定基极薄层电阻可以保持在 $\pm 10\%$ 以内，电阻线宽可以保持在 ± 0.1 密耳以内，画出扩散电阻最大容差(电阻值的百分比变化)与线宽 *W*(以密耳为单位)的关系曲线。线宽的取值范围规定在 $0.5 \leq W \leq 5.0$ 。(忽略接触面积和接触布局的误差。)

4-8 设有一用磷和硼进行均匀掺杂的硅晶片，厚度为 1 密耳，磷的浓度为 10^{17} 厘米⁻³，硼的浓度为 5×10^{16} 厘米⁻³。求其薄层电阻。

4-9 (a) 已知一扩散而成的交叉区长 5 密耳，宽 2 密耳，厚 1 微米，其薄层电阻为 2.4 欧姆/单位面积，计算其电阻值。

(b) 对于厚度为 0.4 微米，电阻率为 2.8×10^{-6} 欧姆·厘米的敷铝层，重做题(a)。由此看出避免用扩散方法制成交叉区的好处。

4-10 (a) 要制作一个 20 千欧的电阻，如果其宽度为 1 密耳， $R_s = 200\Omega/\text{单位面积}$ ，那么所需要的总长度是多少？

(b) 若制作一个 5 千欧的电阻，长度为 1 密耳，问所需要的宽度是多少？

4-11 某集成 *pn* 结电容的面积为 2,000 平方密耳，在反向位垒电压为 1.5 伏的情况下工作。受主浓度为 10^{16} 个原子/厘米³，远远小于施主浓度。计算电容值(相对介电常数 $\epsilon_r = 12$)。

4-12 有一个 0.4 皮法/密耳² 的薄膜电容，其 SiO_2 层的厚度为 500 埃。计算二氧化硅的相对介电常数 ϵ_r 。

4-13 制作一个氧化层厚度为 500 埃的 MOS 电容。为了得到 200 皮法的电容量，需要多大的基片面积？二氧化硅的相对介电常数 ϵ_r 为 3.5。

4-14 图中所示的 *n* 型外延隔离区长 10 密耳、宽 5 密耳、厚 1 密耳，电阻率为 0.2 欧姆·厘米。*p* 型衬底的电阻率为 20 欧姆·厘米。求隔离区与衬底之间在 5 伏反向偏置下的寄生电容。假定侧壁所提供的电容量为 0.1 皮法/密耳²。

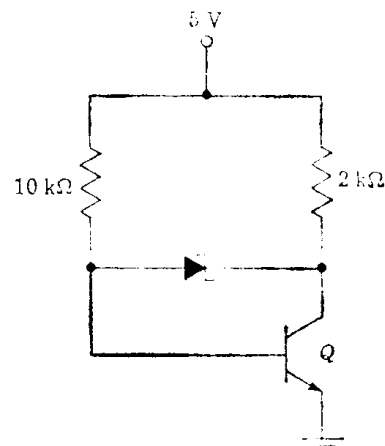


图 P 4-6